



INSTITUTO DE FÍSICA DE SÃO CARLOS
UNIVERSIDADE DE SÃO PAULO

[7600017] - INTRODUÇÃO À FÍSICA COMPUTACIONAL

Projeto 4

Docente:

Francisco Castilho Alcaraz

Aluno:

Breno Henrique Pelegrin da Silva (13687303)

23 de novembro de 2023

Sumário

1	Contexto	2
2	Tarefa A	2
2.1	Resultados e análise	5
3	Tarefa B	8
3.1	Parte B1 e B2	8
3.1.1	Resultados e análise	12
3.2	Parte B3 e B4	14
3.2.1	Resultados e análise	16
4	Tarefa C	16
4.1	Resultados e análise	18
5	Tarefa D	18
5.1	Resultados e análise	19
6	Tarefa E	19
6.1	Resultados e análise	21

Lista de Figuras

1	$\theta(t)$ para o Método de Euler	5
2	$E(t)$ para o Método de Euler	6
3	$\theta(t)$ para o Método de Euler-Cromer	6
4	$E(t)$ para o Método de Euler-Cromer	7
5	$E(t)$ para o Método de Euler e Método de Euler-Cromer	8
6	$T(\theta_0)$ para cada método calculado.	12
7	Diferença absoluta entre T_{sim} e T_{int}	13
8	Diferença absoluta entre T_{apx} e T_{int}	14

Códigos

1	Código-fonte da tarefa A	3
2	Código-fonte da tarefa B, parte B1-B2	10
3	Código-fonte da tarefa B, parte B3	14
4	Código-fonte da tarefa B, parte B4	15
5	Código-fonte da tarefa C	16
6	Código-fonte da tarefa D	18
7	Código-fonte da tarefa E	19

1 Contexto

Nesse projeto, foram elaborados diversos programas em *Fortran 77* para explorar o movimento oscilatório de um pêndulo simples. Inicialmente, considerou-se a aproximação de pequenos ângulos, porém, posteriormente, a equação diferencial do pêndulo foi analisada sem aproximações, tornando possível explorar a evolução temporal do fenômeno em sua plenitude, bem como entender a emergência do caos e a análise deste para diferentes configurações do sistema. Os gráficos e análises gráficas dispostos neste relatório foram

2 Tarefa A

Nessa tarefa, estudou-se o movimento de um pêndulo simples, utilizando a aproximação de ângulos pequenos. Dado um pêndulo de comprimento l e massa m que oscila formando um ângulo θ com o eixo vertical, sua equação de movimento $\theta(t)$ é dada pela Equação Diferencial Ordinária (EDO) exposta na equação 1.

$$ma_\theta = ml \frac{d^2\theta}{dt^2} = -mg \sin(\theta)$$

$$\frac{d^2\theta}{dt^2} = \frac{-g}{l} \sin(\theta) \quad (1)$$

Supondo que o pêndulo exerça pequenas oscilações, ou seja, que $\theta \approx 0$, então pode-se considerar que $\sin(\theta) \approx \theta$ e, portanto, é possível reescrever a EDO para o caso de ângulos pequenos, como é exposto na equação 2, onde $\omega(t) = \frac{d\theta}{dt}$.

$$\theta \rightarrow 0 \implies \frac{d^2\theta}{dt^2} = \frac{-g}{l} \theta$$

$$\frac{d\theta}{dt} = \omega(t)$$

$$\frac{d\omega}{dt} = \frac{-g}{l} \theta(t) \quad (2)$$

A fim de analisar o comportamento de $\theta(t)$ numericamente, pode-se utilizar o método de Euler. No método de Euler, o eixo temporal é particionado em intervalos de tamanho Δt , de forma que para cada i -ésimo intervalo, o tempo t_{i+1} é dado pela equação 5.

Considerando essa discretização, pode-se aproximar o comportamento da função $f(t)$ no intervalo $i + 1$ por $f(t_{i+1}) = f(t_i) + \Delta t f'(t_i)$, ou seja, somando uma pequena variação da função no intervalo (sua derivada multiplicada pelo tamanho Δt) ao valor da função no intervalo anterior. Assim, aplicando esse método à EDO do pêndulo

simples com aproximação de pequenos ângulos, obtém-se as equações numéricas 3 e 3, que podem ser computadas em um programa *Fortran*.

$$w_{i+1} = w_i - \frac{g}{l}\theta_i\Delta t \quad (3)$$

$$\theta_{i+1} = \theta_i + \omega_i\Delta t \quad (4)$$

$$t_{i+1} = t_i + \Delta t, t_0 = 0 \quad (5)$$

A partir dos resultados apresentados na seção 2.1, observa-se que a amplitude de oscilação e a energia mecânica sofrem um pequeno aumento em função do tempo no método de Euler, o que representa uma descrição física errônea do fenômeno, uma vez que a energia deveria se conservar.

Para contornar esse problema, é realizada uma modificação no método de Euler, substituindo o termo ω_i na equação 4 por w_{i+1} , sendo essa alteração conhecida como método de Euler-Cromer. As equações numéricas para o método de Euler-Cromer são expostas nas equações 6 e 7.

$$w_{i+1} = w_i - \frac{g}{l}\theta_i\Delta t \quad (6)$$

$$\theta_{i+1} = \text{mod}(\theta_i + w_{i+1}\Delta t, 2\pi), \text{ com } t = i\Delta t \quad (7)$$

$$t_{i+1} = t_i + \Delta t, \text{ com } t_0 = 0$$

A operação de divisão modular é empregada em θ_{i+1} para que θ esteja sempre entre 0 e 2π . A energia mecânica do sistema pode ser calculada utilizando os valores de θ_i para cada passo, de acordo com a equação 8.

$$E_i = T_i + U_i = \frac{1}{2}m(\omega_i l)^2 + mgl[1 - \cos(\theta_i)] \quad (8)$$

Para os cálculos dessa tarefa, foi considerado um ângulo inicial $\theta_0 = 0.14 \text{ rad} \approx 8^\circ$, $\Delta t = 10^{-2}$, $g = l = 9.8$, $m = 1.0$ e o número de passos simulados foi 2000 passos. O código do programa desenvolvido para esse projeto é exposto no Código 1, e a explicação para esse código é dada logo em seguida, no verbete 1. Os resultados obtidos e a análise deles estão expostos na seção 2.1.

Código 1: Código-fonte da tarefa A

```

1      program TarefaA
2          implicit real*8 (a-h,o-z)
3          parameter(dt = 1e-2)
4          parameter(ipassos = 2000)
5          parameter(theta0 = 0.14d0)
6          parameter(g = 9.8d0)
7          parameter(al = 9.8d0)
8          parameter(m = 1.0d0)
9          dimension t(ipassos), w(ipassos), e(ipassos), theta(ipassos)
10         dimension w_ec(ipassos), e_ec(ipassos), theta_ec(ipassos)
11         pi = 4.0d0*atan(1.0d0)
12         theta(1) = theta0
13         theta_ec(1) = theta0
14         w(1) = 0.0d0
15         w_ec(1) = 0.0d0
16         e(1) = m*g*al*(1-cos(theta0))
17         e_ec(1) = m*g*al*(1-cos(theta0))
18         t(1) = 0.0d0
19         open(50, file="saida-a-13687303-theta_t.csv")
20         open(51, file="saida-a-13687303-theta_ec_t.csv")
21         open(60, file="saida-a-13687303-e_t.csv")
22         open(61, file="saida-a-13687303-e_ec_t.csv")
23         write(50,100)
24     100    format("t,theta")
25         write(51, 101)
26     101    format("t,theta_ec")
27         write(60,102)
28     102    format("t,e")
29         write(61, 103)
30     103    format("t,e_ec")
31         write(50,*) t(1), ",", theta(1)
32         write(51,*) t(1), ",", theta_ec(1)
33         write(60,*) t(1), ",", e(1)
34         write(61,*) t(1), ",", e_ec(1)
35         do i=1, ipassos-1, 1
36             t(i+1) = i*dt
37             w(i+1) = w(i) - (g/al)*theta(i)*dt
38             w_ec(i+1) = w_ec(i) - (g/al)*theta_ec(i)*dt
39             theta(i+1) = mod(theta(i) + w(i)*dt, 2.0d0*pi)
40             theta_ec(i+1) = mod(theta_ec(i) + w_ec(i+1)*dt, 2.0d0*pi)
41     c      E = U + K = mgl * (1 - cos(theta)) + 0.5 * m * (w*1)2
42             e(i+1) = m*g*al*(1-cos(theta(i+1)))+ 0.5d0*m*(w(i+1)*al)**2
43             e_ec(i+1) = m*g*al*(1-cos(theta_ec(i+1)))+0.5d0*m*(w_ec(i+1
44             &)*al)**2
45             write(50, *) t(i+1), ",", theta(i+1)
46             write(51, *) t(i+1), ",", theta_ec(i+1)
47             write(60, *) t(i+1), ",", e(i+1)
48             write(61, *) t(i+1), ",", e_ec(i+1)
49         end do
50         close(50)
51         close(51)
52         close(60)
53         close(61)
54     end program

```

Verbetes 1: Explicação do código da tarefa A

Inicialmente, define-se os parâmetros e os vetores a serem utilizados durante a simulação do pêndulo. Os vetores são inicializados com o tamanho de acordo com a quantidade N de passos. Como o pêndulo parte do repouso, tem-se que $\omega_0 = 0$.

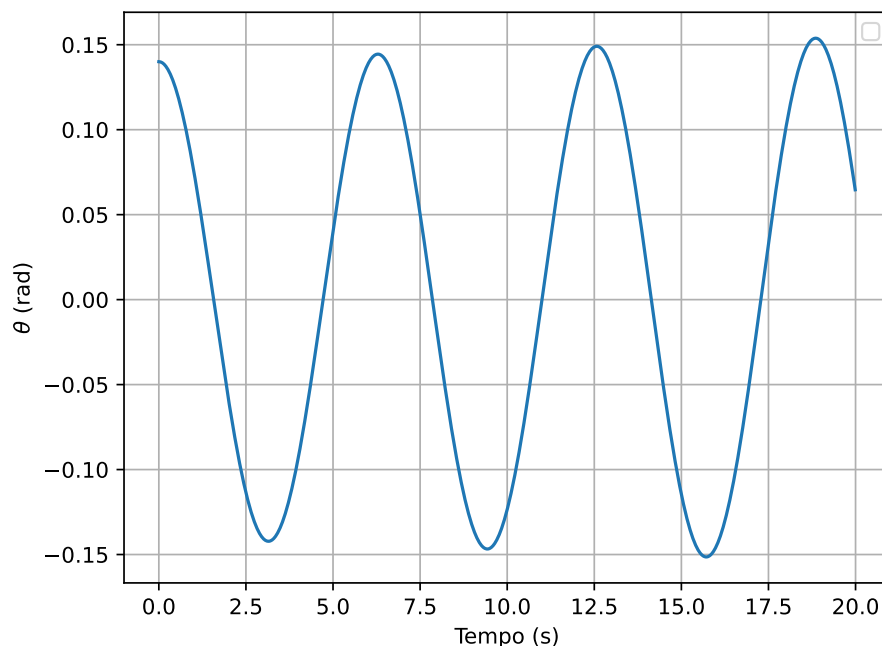
Em seguida, após as definições e abertura do arquivo de saída, realiza-se um laço i de 1 a $N - 1$, de 1 em 1. A cada passo, são calculadas as equações numéricas para o método de Euler e o método de Euler-Cromer, assim como a energia mecânica total do sistema calculada utilizando os valores dos dois métodos.

Os valores calculados para cada θ_i e E_i em função de t_i são escritos em um arquivo para cada método numérico avaliado, para fins de comparação.

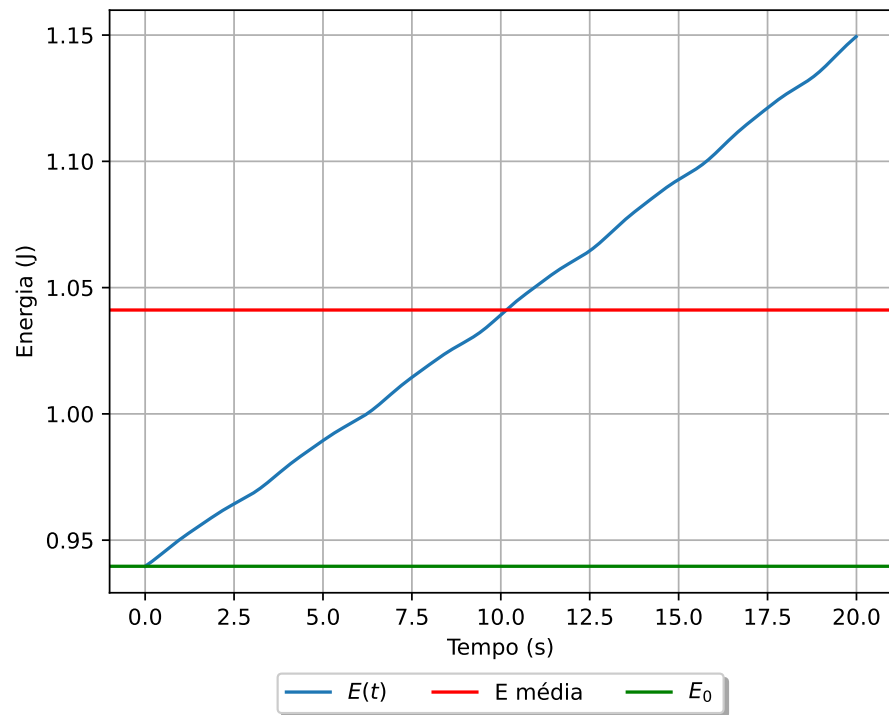
2.1 Resultados e análise

A partir dos resultados obtidos nessa tarefa, foram criados os gráficos de $\theta(t)$ e $E(t)$ para os dois métodos numéricos utilizados, de Euler e de Euler-Cromer. Os gráficos de $\theta(t)$ e $E(t)$ para o método de Euler são exibidos nas figuras 1 e 2, respectivamente, e os gráficos de $\theta(t)$ e $E(t)$ para o método de Euler-Cromer são exibidos nas figuras 3 e 4, respectivamente.

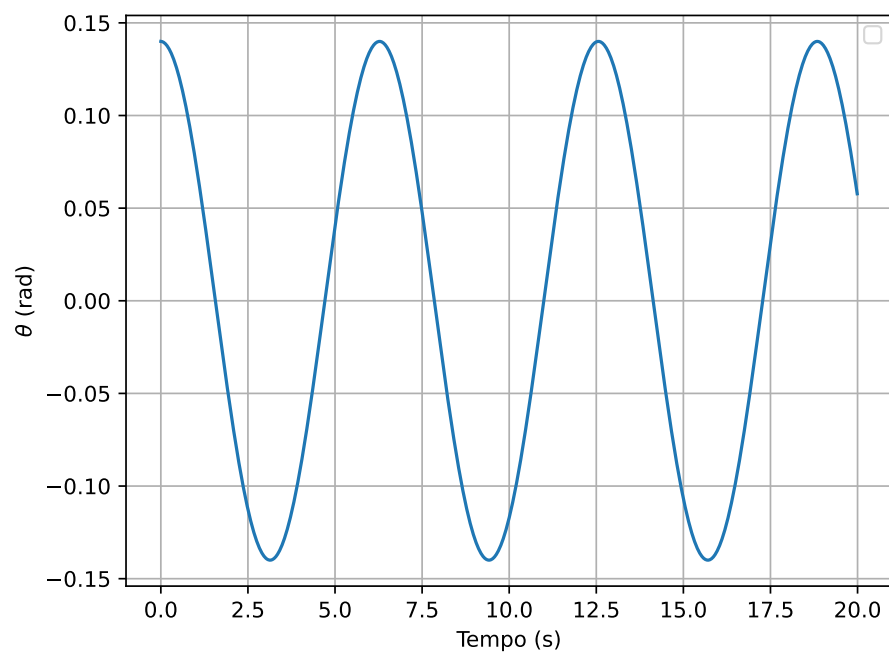
Figura 1: $\theta(t)$ para o Método de Euler



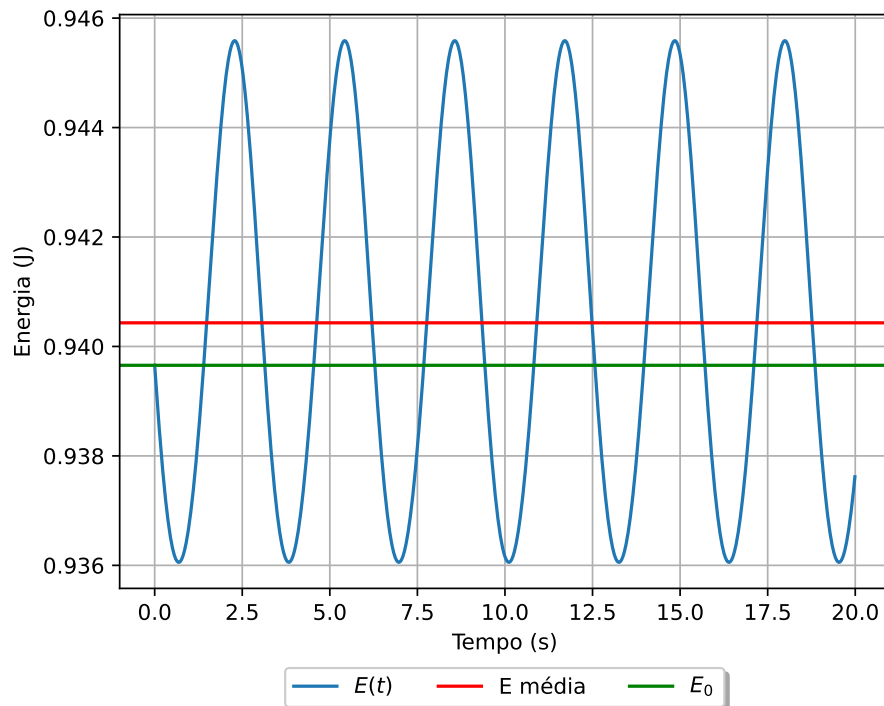
Fonte: Autoria própria

Figura 2: $E(t)$ para o Método de Euler

Fonte: Autoria própria

Figura 3: $\theta(t)$ para o Método de Euler-Cromer

Fonte: Autoria própria

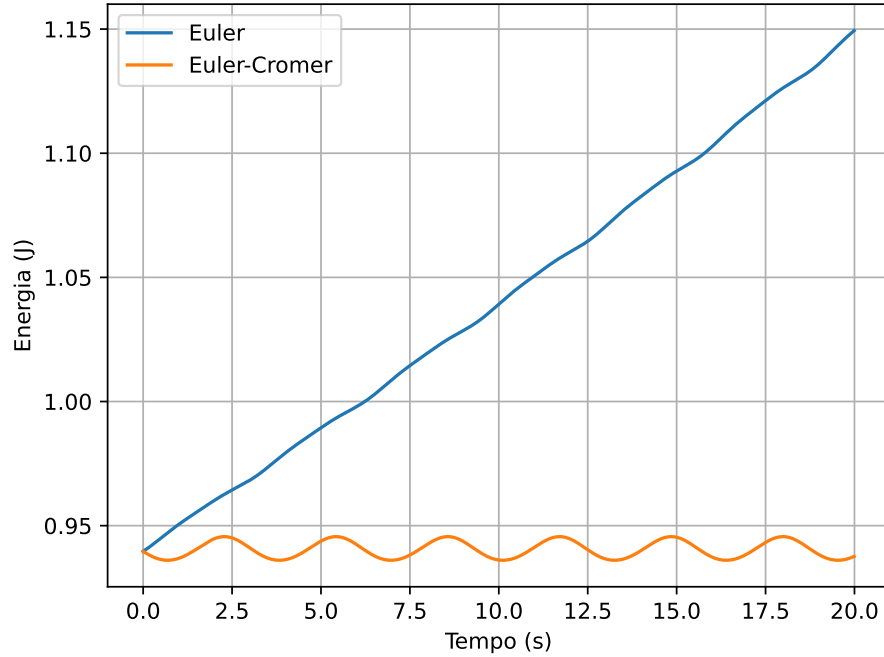
Figura 4: $E(t)$ para o Método de Euler-Cromer

Fonte: Autoria própria

Ao observar os gráficos de $\theta(t)$ e $E(t)$ para os dois métodos, observa-se que, no método de Euler, a amplitude de $\theta(t)$ e o valor de $E(t)$ tendem a crescer com o tempo, o que representa uma inconsistência física, já que a amplitude de $\theta(t)$ e o valor de $E(t)$ deveriam ser aproximadamente constantes no tempo, exceto por variações de ponto flutuante.

Já nos gráficos para o método de Euler-Cromer, observa-se que a amplitude de $\theta(t)$ permanece constante no tempo e a energia $E(t)$ varia na escala de Δt , ou seja, é aproximadamente constante no tempo, tendo apenas variações de ponto flutuante. Assim, o método de Euler-Cromer descreve o fenômeno físico com maior precisão que o método de Euler.

A fim de comparar os dois métodos, foi criado um gráfico conjunto de $E(t)$ para os dois métodos numéricos, exibido na figura 5. Ao analisar o gráfico, observa-se que, no método de Euler, a energia cresce linearmente com o tempo, enquanto no método de Euler-Cromer, a energia oscila regularmente em torno de um ponto, permanecendo aproximadamente constante no tempo.

Figura 5: $E(t)$ para o Método de Euler e Método de Euler-Cromer

Fonte: Autoria própria

3 Tarefa B

Nessa tarefa, utilizando o Método de Euler-Cromer, explorou-se o fenômeno do pêndulo simples sem aproximação de ângulos pequenos, e acrescentando um termo resistivo e uma força externa na EDO, tornando a simulação mais geral e próxima da realidade. A EDO que descreve $\theta(t)$ com os novos termos acrescentados é exibida na equação 9, onde γ é o fator de resistência do meio, F_0 é a amplitude da força externa e Ω é a frequência da força externa.

$$\frac{d\omega}{dt} = -\frac{g}{l}\sin(\theta) - \gamma\frac{d\theta}{dt} + F_0\sin(\Omega t) \quad (9)$$

$$\frac{d\theta}{dt} = \omega$$

3.1 Parte B1 e B2

Nas partes B1 e B2, o período do movimento oscilatório foi calculado para diversos ângulos iniciais θ_0 utilizando três métodos distintos:

1. O primeiro consiste em realizar a simulação numérica de vários pêndulos com ângulos iniciais θ_0 e determinar o período a partir da simulação.

2. O segundo consiste em resolver a EDO para encontrar o período, descrito pela integral da equação 12, que deve ser calculada numericamente considerando as singularidades da função.
3. O terceiro consiste em calcular o período através da equação aproximada 13, obtida a partir de uma expansão em série do período.

Ao discretizar a EDO da equação 9 utilizando o Método de Euler-Cromer, obtém-se as equações 10 e 11.

$$\omega_{i+1} = \omega_i + \Delta t \left[\frac{-g}{l} \sin(\theta_i) - \gamma \omega_i + F_0 \sin(\Omega t_i) \right] \quad (10)$$

$$\theta_{i+1} = \text{mod}(\theta_i + \omega_{i+1} \Delta t, 2\pi) \quad (11)$$

$$t_{i+1} = t_i + \Delta t, \text{ com } t_0 = 0$$

A integral da equação 12 pode ser obtida ao multiplicar a EDO 1 por $\dot{\theta}$, aplicar as condições iniciais $\theta(t=0) = \theta_0$ e $\dot{\theta}(t=0) = 0$, e separar as variáveis θ e t , como exposto abaixo.

$$\dot{\theta}\ddot{\theta} + \omega^2 \sin(\theta)\dot{\theta} = 0 \implies \left(\frac{1}{2}\dot{\theta}^2\right)' - (\cos(\theta))'\omega^2 = 0$$

$$\int \left(\frac{1}{2}\dot{\theta}^2\right) - \cos(\theta)\omega^2 dt \implies \frac{1}{2}\dot{\theta}^2 - \omega^2 \cos(\theta) = C$$

$$\theta(0) = \theta_0 \text{ e } \dot{\theta}(0) = 0 \implies C = -\omega^2 \cos(\theta_0)$$

$$\frac{d\theta}{dt} = \pm \omega \sqrt{2} \sqrt{\cos(\theta) - \cos(\theta_0)}$$

$$\int_0^{\frac{T}{2}} dt = \frac{T}{2} = \pm \frac{1}{\omega \sqrt{2}} \int_{-\theta_0}^{\theta_0} \frac{d\theta}{\sqrt{\cos(\theta) - \cos(\theta_0)}}$$

$$T = \sqrt{\frac{2l}{g}} \int_{-\theta_0}^{\theta_0} \frac{d\theta}{\sqrt{\cos(\theta) - \cos(\theta_0)}} \quad (12)$$

Aproximando o período em série, obtém-se a equação 13.

$$T \approx 2\pi \sqrt{\frac{l}{g}} \left[1 + \frac{\theta_0^2}{16} \right] \quad (13)$$

O código elaborado para essa tarefa é exposto no Código 2, e sua explicação é dada logo em seguida, no verbete 2.

Código 2: Código-fonte da tarefa B, parte B1-B2

```

1      program TarefaB1eB2
2          implicit real*8 (a-h,o-z)
3          parameter (iangulos = 100)
4          parameter (idivisoos = 5000)
5          dimension theta(iangulos)
6
7          pi = 4.0d0*atan(1.0d0)
8          theta(1) = pi/2.0d0
9
10         open(50, file='saida-b1-b2-13687303-periodos.csv')
11         write(50,100)
12 100    format("theta,periodo_sim,periodo_int,periodo_apx")
13         do i=1, iangulos-1, 1
14             theta(i+1) = theta(i) - pi/(2*iangulos)
15             periodo = 0.0d0
16             eps = 1e-3
17             do j=1, 10, 1
18                 periodo = periodo + simulate(theta(i), 0d0, 0d0, 0d0)
19             end do
20             periodo = periodo/10.0d0
21             periodo_int = spint(-theta(i)+eps, theta(i)-eps, idivisoos,
22 &theta(i))*sqrt(2.0d0)+ 4*sqrt(2.0d0)*sqrt(eps/sin(theta(i)))
23             periodo_apx = 2.0d0*pi*(1 + (theta(i)**2)/16.0d0)
24             write(50,*) theta(i), ",", periodo, ",", periodo_int, ",",
25 &periodo_apx
26         end do
27         close(50)
28     end program
29
30     function simulate(theta0, gamma, f0, omega)
31         implicit real*8 (a-h,o-z)
32         parameter(ipassos = 3000)
33         parameter(dt = 1e-2)
34         parameter(g = 9.8d0)
35         parameter(al = 9.8d0)
36         parameter(m = 1.0d0)
37
38         dimension t(ipassos), w(ipassos), e(ipassos), theta(ipassos)
39
40         simulate = 0.0d0
41         pi = 4.0d0*atan(1.0d0)
42
43         theta(1) = theta0
44         w(1) = 0.0d0
45         e(1) = m*g*al*(1-cos(theta0))
46         t(1) = 0.0d0
47         iosc = 0
48
49         do i=1, ipassos-1, 1
50             t(i+1) = i*dt

```

```

51         w(i+1) = w(i) + (- (g/al)*sin(theta(i)) - gamma*w(i) + f0*s
52 &in(omega*t(i)))*dt
53         if(w(i+1) * w(i) .lt. 0) iosc = iosc + 1
54         if(iosc .eq. 2) then
55             simulate = t(i)
56             return
57         end if
58         theta(i+1) = mod(theta(i) + w(i+1)*dt, 2.0d0*pi)
59 c         E = U + K = mgl * (1 - cos(theta)) + 0.5 * m * (w*1)2
60         e(i+1) = m*g*al*(1-cos(theta(i+1)))+ 0.5d0*m*(w(i+1)*al)**2
61     end do
62 end function
63
64 function func(x, x0)
65     implicit real*8 (a-h,o-z)
66     func = 1.0d0/sqrt(cos(x) - cos(x0))
67     return
68 end function
69
70 function fn(x0, n, h, b0)
71     implicit real*8 (a-h,o-z)
72     fn = func(x0 + n*h, b0)
73     return
74 end function fn
75
76 function spint(a,b,n,b0)
77     implicit real*8 (a-h,o-z)
78     spint=0.0d0
79     h=(b-a)/real(n)
80     do i=1, n-1, 2
81         x0=a+i*h
82         spint=spint+(h/3.0d0)*(fn(x0, 1, h, b0) + 4.0d0*fn(x0, 0, h
83 &b0) + fn(x0,-1, h, b0))
84     end do
85     return
86 end function
87
88 function trint(a,b,n,b0)
89     implicit real*8 (a-h,o-z)
90     trint=0.0d0
91     h=(b-a)/n
92     do i=1, n-1, 2
93         x0=a + i*h
94         trint=trint+(h/2.0d0)*(fn(x0, -1, h, b0) + 2.0d0*fn(x0, 0,
95 &h, b0)+fn(x0,1,h,b0))
96     end do
97     return
98 end function
99
100
101

```

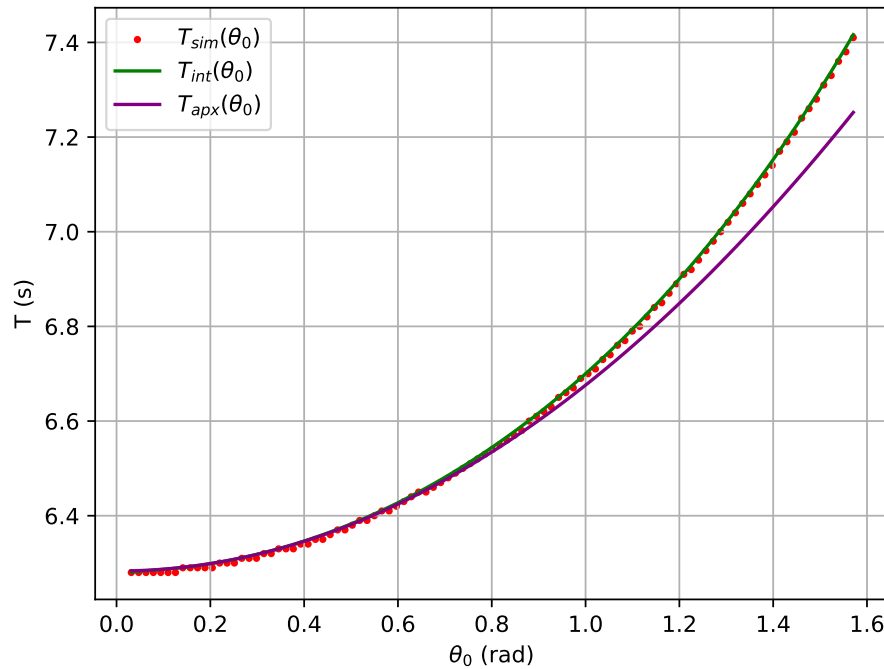
Verbetes 2: Explicação do código da tarefa B

Inicialmente, define-se o número de passos e um vetor com vários valores de θ_0 para os quais o período será calculado, e depois é aberto o arquivo de saída de dados. A fim de tornar o código mais simples, a parte de simulação foi transformada em uma função *simulate*, que recebe os parâmetros da simulação e retorna o período do movimento. O período obtido a partir da simulação é calculado da seguinte maneira: conta-se quantas vezes $\omega(t)$ trocou de sinal e, quando a contagem for 2, tem-se um período e a função retorna o valor do tempo t_i atual. Além disso, para cada θ_0 , a integral do período é calculada numericamente utilizando o método de Boole, e a expressão aproximada do período também é calculada. Após calcular cada período, os resultados de cada método em função do ângulo θ_i são escritos no arquivo de saída.

3.1.1 Resultados e análise

A partir dos períodos obtidos pela integral (T_{int}), pela simulação (T_{sim}) e pela equação aproximada (T_{apx}), foi criado um gráfico conjunto de $T(\theta_0)$ para os três métodos utilizados, a fim de compará-los, que é exposto na figura 6.

Figura 6: $T(\theta_0)$ para cada método calculado.

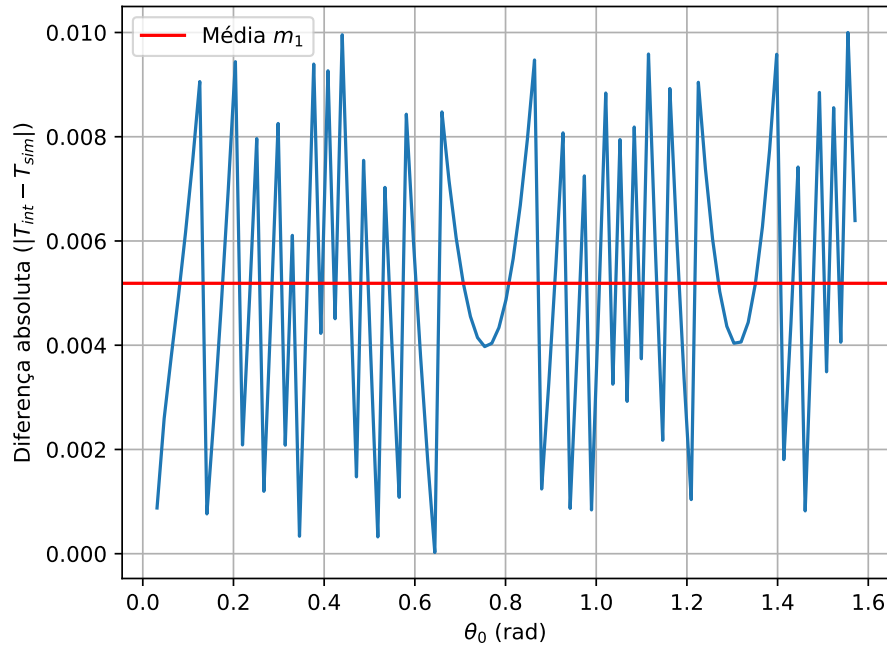


Fonte: Autoria própria

Ao observar a figura 6, pode-se concluir que os métodos da integral e da simulação fornecem resultados aparentemente próximos, sendo difícil discernir graficamente o erro entre esses dois métodos.

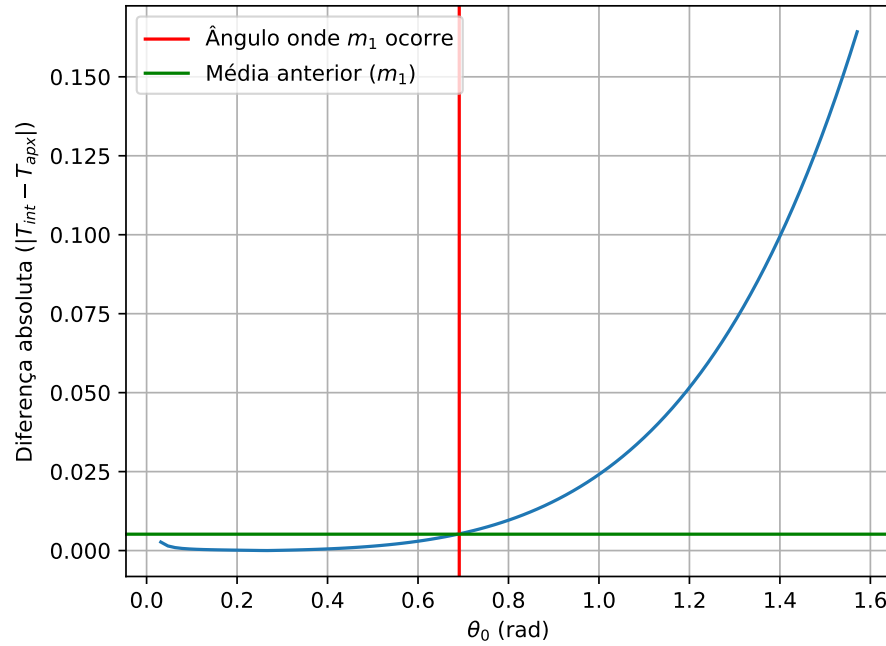
Dessa forma, para comparar o método da integral e da simulação de maneira mais precisa, foi criado um gráfico da diferença absoluta $|T_{int} - T_{sim}|$ entre os métodos em função de θ_0 , exibido na figura 7. A partir da análise do gráfico, observa-se que os métodos fornecem resultados muito semelhantes, uma vez que a diferença absoluta oscila na ordem de Δt em torno da média, que está na escala de 10^{-3} , ou seja, o erro entre os dois métodos é desprezível.

Figura 7: Diferença absoluta entre T_{sim} e T_{int}



Fonte: Autoria própria

Analogamente, a fim de comparar os resultados da equação aproximada em relação aos métodos da integral e da simulação, foi criado o gráfico da diferença absoluta $|T_{apx} - T_{int}|$ entre o método aproximado e o método da integral, exposto na figura 8. No gráfico, a média da diferença absoluta anterior, entre T_{int} e T_{sim} , está evidenciada pela linha verde, e o ângulo θ_0 onde ela ocorre está marcado pela linha vermelha. Assim, é possível encontrar a partir de qual ângulo o método aproximado fornece resultados com erro maior que o método da integral e da simulação.

Figura 8: Diferença absoluta entre T_{apx} e T_{int} 

Fonte: Autoria própria

Ao analisar o gráfico da figura 8, observa-se que o método aproximado funciona bem para ângulos menores que 0.7 rad, todavia, para ângulos maiores que 0.7 rad, o erro começa a crescer exponencialmente, fornecendo resultados distantes da realidade. Assim, podemos concluir que os métodos da integral e da simulação fornecem resultados aproximadamente iguais, e o método aproximado fornece bons resultados para ângulos de até 0.7 rad.

3.2 Parte B3 e B4

Código 3: Código-fonte da tarefa B, parte B3

```

1  program TarefaB3
2      implicit real*8 (a-h,o-z)
3      parameter(ipassos = 9000)
4      parameter(g = 9.8d0)
5      parameter(al = 9.8d0)
6      parameter(m = 1.0d0)
7
8      dimension t(ipassos), w(ipassos), e(ipassos), theta(ipassos)
9
10     pi = 4.0d0*atan(1.0d0)
11
12     theta0 = 0.14d0
13     omega = 0.0d0
14     gamma = 0.05d0
15     f0 = 0.0d0
16     dt=1e-2

```

```

17
18         open(50, file="saida-b3-13687303-theta_t.csv")
19         write(50,100)
20     100     format("t,theta")
21
22         theta(1) = theta0
23         w(1) = 0.0d0
24         e(1) = m*g*al*(1-cos(theta0))
25         t(1) = 0.0d0
26
27         do i=1, ipassos-1, 1
28             t(i+1) = i*dt
29             w(i+1) = w(i) + (- (g/al)*sin(theta(i)) - gamma*w(i) + f0*s
30 &in(omega*t(i)))*dt
31             theta(i+1) = mod(theta(i) + w(i+1)*dt, 2.0d0*pi)
32     c         E = U + K = mgl * (1 - cos(theta)) + 0.5 * m * (w*1)²
33             e(i+1) = m*g*al*(1-cos(theta(i+1)))+ 0.5d0*m*(w(i+1)*al)**2
34             write(50,*) t(i), ",", theta(i)
35         end do
36         close(50)
37     end program

```

Verbetes 3: Explicação do código da tarefa B

Escrever...

Código 4: Código-fonte da tarefa B, parte B4

```

1     program TarefaB4
2         implicit real*8 (a-h,o-z)
3         parameter(ipassos = 2500)
4         parameter(g = 9.8d0)
5         parameter(al = 9.8d0)
6         parameter(m = 1.0d0)
7
8         dimension t(ipassos), w(ipassos), e(ipassos), theta(ipassos),
9 &f0(3)
10        character fname*50
11        pi = 4.0d0*atan(1.0d0)
12
13        theta0 = 0.14d0
14        omega = (2.0d0/3.0d0)
15        gamma = 0.5d0
16        f0 = [0.0d0, 0.5d0, 1.2d0]
17        dt=0.04d0
18
19    c        Loop k_gamma para escolher qual gamma usar
20    c        k_gamma = 1 => gamma = 0.05 e k_gamma = 2 => gamma = 0.5
21        do k_gamma = 1, 2, 1
22            if(k_gamma .eq. 1) gamma = 0.05d0
23            if(k_gamma .eq. 2) gamma = 0.5d0
24
25    c        Loop j_f0 para escolher qual f0 usar

```



```

26  c      j_f0 = 1 => f0 = 0, j_f0 = 2 => f0 = 0.5 e j_f0 = 3 => f0=1.2
27      do j_f0=1, 3, 1
28      write(fname,100) j_f0, k_gamma
29  100    format('saida-b4-13687303-dados_f0_', i1, '_g_', i1, '.csv')
30      open(50, file=fname)
31      write(50,101)
32  101    format("t,theta,w")
33
34      theta(1) = theta0
35      w(1) = 0.0d0
36      e(1) = m*g*al*(1-cos(theta0))
37      t(1) = 0.0d0
38
39      do i=1, ipassos-1, 1
40          t(i+1) = i*dt
41          w(i+1) = w(i) + (- (g/al)*sin(theta(i)) - gamma*w(i) + f0(j
42      & f0)*sin(omega*t(i)))*dt
43          theta(i+1) = mod(theta(i) + w(i+1)*dt, 2.0d0*pi)
44  c      E = U + K = mgl * (1 - cos(theta)) + 0.5 * m * (w*l)^2
45          e(i+1) = m*g*al*(1-cos(theta(i+1)))+ 0.5d0*m*(w(i+1)*al)**2
46          write(50,*) t(i), ",", theta(i), ",", w(i)
47      end do
48      close(50)
49
50      end do
51      end do
52  end program

```

Verbetes 4: Explicação do código da tarefa B

Escrever..

3.2.1 Resultados e análise

Escrever...

4 Tarefa C

Código 5: Código-fonte da tarefa C

```

1      program TarefaC
2      implicit real*8 (a-h,o-z)
3      parameter(ipassos = 2000)
4      parameter(dt = 0.04d0)
5      parameter(g = 9.8d0)
6      parameter(al = 9.8d0)
7      parameter(m = 1.0d0)
8
9      dimension t1(ipassos), w1(ipassos), theta1(ipassos)
10     dimension t2(ipassos), w2(ipassos), theta2(ipassos)
11     dimension dtheta(ipassos)

```

```

12     dimension f0_arr(2), theta0_arr(2)
13     character fname*50
14
15     gamma = 0.5d0
16     omega = 2.0d0/3.0d0
17     f0_arr = [0.5d0, 1.2d0]
18     theta0_arr = [0.14d0, 0.14d0 - 0.001d0]
19
20     do i=1, 2, 1
21         f0 = f0_arr(i)
22
23         write(fname,100) i
24 100     format("saida-c-13687303-dados_f0_", I0, ".csv")
25         open(50, file=fname)
26         write(50,101)
27 101     format("t,dtheta")
28
29         theta0 = theta0_arr(1)
30         call simulate(ipassos,dt,g,al,m,theta0,gamma,f0,omega,t1,w1
31 &,theta1)
32         theta0 = theta0_arr(2)
33         call simulate(ipassos,dt,g,al,m,theta0,gamma,f0,omega,t2,w2
34 &,theta2)
35
36         do j=1, ipassos, 1
37             dtheta(j) = theta2(j) - theta1(j)
38             write(50,*) t1(j), ",", dtheta(j)
39         end do
40
41         close(50)
42     end do
43 end program
44
45 subroutine simulate(ipassos,dt,g,al,m,theta0,gamma,f0,omega,t,w,t
46 &heta)
47     implicit real*8 (a-h,o-z)
48     dimension t(*), w(*), theta(*)
49
50     pi = 4.0d0*atan(1.0d0)
51
52     theta(1) = theta0
53     w(1) = 0.0d0
54     t(1) = 0.0d0
55     iosc = 0
56
57     do i=1, ipassos-1, 1
58         t(i+1) = i*dt
59         w(i+1) = w(i) + (- (g/al)*sin(theta(i)) - gamma*w(i) + f0*s
60 &in(omega*t(i)))*dt
61         theta(i+1) = mod(theta(i) + w(i+1)*dt, 2.0d0*pi)
62     end do
63 end subroutine

```

Verbetes 5: Explicação do código da tarefa C

Escrever...

4.1 Resultados e análise

Escrever...

5 Tarefa D

Código 6: Código-fonte da tarefa D

```

1      program TarefaD
2          implicit real*8 (a-h,o-z)
3          parameter(ipassos = 3000)
4          parameter(dt = 0.04d0)
5          parameter(g = 9.8d0)
6          parameter(al = 9.8d0)
7          parameter(m = 1.0d0)
8          parameter(iangulos = 4)
9
10         dimension t(ipassos), w(ipassos), theta(ipassos)
11         dimension f0_arr(2), theta0_arr(iangulos)
12         character fname*50
13
14         gamma = 0.5d0
15         omega = 2.0d0/3.0d0
16         f0_arr = [0.5d0, 1.2d0]
17         do j=1, iangulos, 1
18             theta0_arr(j) = 0.14d0 - 1e-3*j
19         end do
20
21         do i=1, 2, 1
22             f0 = f0_arr(i)
23
24             do j=1, iangulos, 1
25
26                 write(fname,100) i, j
27 100             format("saida-d-13687303-dados_f0_", I0,"_theta0_", I0, ".csv")
28                 open(50, file=fname)
29                 write(50,101)
30 101             format("t,theta,w")
31                 theta0 = theta0_arr(j)
32                 call simulate(ipassos,dt,g,al,m,theta0,gamma,f0,omega,t,w
33 &,theta)
34                 do k=1, ipassos, 1
35                     write(50,*) t(k), ",", theta(k), ",", w(k)
36                 end do
37                 close(50)
38
39             end do
40         end do
41     end program

```

```

42
43     subroutine simulate(ipassos,dt,g,al,m,theta0,gamma,f0,omega,t,w,t
44     &theta)
45         implicit real*8 (a-h,o-z)
46         dimension t(*), w(*), theta(*)
47
48         pi = 4.0d0*atan(1.0d0)
49
50         theta(1) = theta0
51         w(1) = 0.0d0
52         t(1) = 0.0d0
53         iosc = 0
54
55         do i=1, ipassos-1, 1
56             t(i+1) = i*dt
57             w(i+1) = w(i) + (- (g/al)*sin(theta(i)) - gamma*w(i) + f0*s
58             &in(omega*t(i)))*dt
59             theta(i+1) = mod(theta(i) + w(i+1)*dt, 2.0d0*pi)
60         end do
61     end subroutine

```

Verbetes 6: Explicação do código da tarefa D

Escrever...

5.1 Resultados e análise

Escrever...

6 Tarefa E

Código 7: Código-fonte da tarefa E

```

1     program TarefaE
2         implicit real*8 (a-h,o-z)
3         parameter(ipassos = 100000)
4         parameter(dt = 0.04d0)
5         parameter(g = 9.8d0)
6         parameter(al = 9.8d0)
7         parameter(m = 1.0d0)
8         parameter(iangulos = 5)
9
10        dimension t(ipassos), w(ipassos), theta(ipassos)
11        dimension f0_arr(2), theta0_arr(iangulos)
12        character fname*60
13
14        pi = 4.0d0*atan(1.0d0)
15        gamma = 0.5d0
16        omega = 2.0d0/3.0d0
17        f0_arr = [0.5d0, 1.2d0]
18        do j=1, iangulos, 1

```

```

19         theta0_arr(j) = pi/6.0d0 - 1e-3*j
20     end do
21
22     do i=1, 2, 1
23         f0 = f0_arr(i)
24
25         do j=1, iangulos, 1
26
27             write(fname,100) i, j
28 100         format("saida-e-13687303-dados_f0_", I0,"_theta0_", I0,
29             &".csv")
30             open(50, file=fname)
31             write(50,101)
32 101         format("t,theta,w")
33             theta0 = theta0_arr(j)
34             call simulate(ipassos,dt,g,al,m,theta0,gamma,f0,omega,t,w
35             &,theta)
36             do k=1, ipassos, 1
37                 if(mod(omega*t(k), pi) .lt. dt/2.0d0) then
38                     write(50,*) t(k), ",", theta(k), ",", w(k)
39                 end if
40             end do
41             close(50)
42
43         end do
44     end do
45 end program
46
47 subroutine simulate(ipassos,dt,g,al,m,theta0,gamma,f0,omega,t,w,t
48 &heta)
49     implicit real*8 (a-h,o-z)
50     dimension t(*), w(*), theta(*)
51
52     pi = 4.0d0*atan(1.0d0)
53
54     theta(1) = theta0
55     w(1) = 0.0d0
56     t(1) = 0.0d0
57     iosc = 0
58
59     do i=1, ipassos-1, 1
60         t(i+1) = i*dt
61         w(i+1) = w(i) + (- (g/al)*sin(theta(i)) - gamma*w(i) + f0*s
62         &in(omega*t(i)))*dt
63         theta(i+1) = mod(theta(i) + w(i+1)*dt, 2.0d0*pi)
64     end do
65 end subroutine

```

Verbete 7: Explicação do código da tarefa E

Escrever...

6.1 Resultados e análise